

Proyecto final. Delta Robot.

Sistemas Embebidos en Tiempo Real.

Cervantes Solorio, Álvaro
Garnica Cortés, Román
Granillo Martínez, Mariela Itzel

IECSA09

Universidad Aeronáutica en Querétaro
México

4 de marzo de 2025

Índice

Índice de figuras	1
1. Objetivo	3
2. Introducción	3
3. Marco Teórico	3
3.1. Sistema Operativo en Tiempo Real. RTOS.	3
3.2. FreeRTOS.	3
3.3. Robot Delta.	4
3.4. Motor DC con encoder.	4
3.5. Hércules RM42	4
3.6. Puente H.	4
4. Desarrollo.	5
4.1. Materiales.	5
4.2. Estructura de robot delta.	5
4.3. Modelo cinemático inverso.	6
4.4. Diagrama UML.	7
5. Gráficas de sintonización de control	7
6. Conclusiones.	7
A. Anexos	9
A.1. Código CSS.	9
A.2. Configuración de HALCoGen.	19
Bibliografía	23

Índice de figuras

1. FreeRTOS.	3
2. Robot delta.	4
3. Motor DC con encoder.	4
4. Hércules RM42.	4
5. Puente H.	5
6. Diagrama de robot delta.	5
7. Motorreductor utilizado.	5
8. Diagrama robot delta.	6

9.	Diagrama de modelo cinemático inverso.	6
10.	Diagrama UML secuencial.	7
11.	Sintonización de control.	7
12.	19
13.	20
14.	21
15.	22

1. Objetivo

Realizar un programa de control de un sistema embebido mediante el uso de sistemas operativos en tiempo real y normas de software determinista, para controlar un robot delta que ejecute tareas programadas.

2. Introducción

El proyecto a documentar en este reporte se va a enfocar en la programación y diseño de sistemas embebidos en tiempo real, el proyecto consiste en programar rutinas en nuestro robot delta para que este las siga. El robot delta consta de 3 brazos, existen robots delta hasta con 8 brazos, dichos brazos serán los que se encarguen de realizar el movimiento de una plataforma plana que unirá los 3 brazos. El otro extremo de los brazos estará sujeto a una base de madera fija.

En la base de madera fija se colocarán 3 motores reductores con encoder, uno para cada brazo, dichos motores serán los encargados del movimiento de los brazos. Son los motores que se programarán con el objetivo de que el robot realice ciertos movimientos con un orden. La estructura debe estar diseñada correctamente para que la plataforma móvil sostenida por los 3 brazos siempre esté paralela al suelo. El objetivo es realizar un programa con el que el robot se mueva en ciertas direcciones en un orden.

El programa para el control de dicha rutina se hará a través de Code Composer Studio y HALCoGen en una tarjeta Hércules RM42, el programa estará basado en FreeRTOS. FreeRTOS es un sistema operativo en tiempo real diseñado para sistemas embebidos y que se utiliza en más de 30 plataformas para microcontroladores. Está desarrollado en lenguaje C y su actual dueño es Amazon Web Services.

3. Marco Teórico

En este marco teórico se darán los conceptos necesarios para la comprensión de lo que se realizará en este proyecto, desde conceptos relacionados con la materia hasta conceptos de algunos materiales usados. Los conceptos serán breves, con la

información necesaria para comprenderlos temas y no confundir.

3.1. Sistema Operativo en Tiempo Real. RTOS.

Un sistema operativo en tiempo real posee dos características clave, es predecible y determinista. Con predecible nos referimos a que sabemos que salida va a producir cierta entrada, y siempre será la misma; por otro lado, determinista significa que sabremos exactamente cuanto durará haciendo alguna tarea, no podrá durar más ni menos del tiempo establecido. Los RTOS se dividen en Soft real-time y Hard real-time, los primeros operan dentro de un margen de cientos de milisegundos, mientras que los segundos operan dentro de decenas de milisegundos o menos. Estos sistemas utilizan una planificación de tareas basada en prioridades, es decir, primero ejecuta la tarea de mayor prioridad y así sucesivamente. Una ventaja de estos sistemas operativos es que su peso es bastante pequeño en relación con sistemas operativos como Windows o Linux.

3.2. FreeRTOS.

FreeRTOS es un sistema operativo en tiempo real, actualmente es el más usado por empresas y proyectos individuales. Fue desarrollado durante 18 años por compañías líderes en la fabricación de chips y actualmente es el más usado para microcontroladores. FreeRTOS provee gran robustez y soporte en una gran cantidad de dispositivos, al ser desarrollado por Amazon Web Services prometen un buen soporte para el sistema por un largo periodo de tiempo.

Figura 1: FreeRTOS.



3.3. Robot Delta.

Los robots delta son un tipo de robot paralelo, el cual se forma por, mínimo dos brazos, los cuales sostienen una plataforma paralela a la superficie inferior y la mueven en distintos sentidos, mientras más brazos tendrá más grados de libertad para mover a la plataforma. Dichos brazos son accionados por motores reductores, los cuales a su vez son controlador por algún microcontrolador o microprocesador. Uno de los principales usos de estos robots, es en las cadenas de producción, ya que su programación les permite realizar rutinas cada cierto tiempo, lo cual es característico de las cadenas de producción donde cada cierto tiempo llega una pieza o producto y se tiene que realizar una tarea con dicho objeto.

Figura 2: Robot delta.



3.4. Motor DC con encoder.

Un motor DC con encoder es básicamente un motor reductor con un encoder para poder medir la posición y velocidad del motor. Una de las características principales de estos motores es la capacidad de poder ejecutar y controlar movimientos precisos, esto es exactamente lo que se necesita para mover los brazos del robot delta, por lo tanto se usarán 3 motores de este tipo.

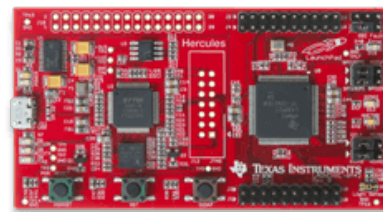
Figura 3: Motor DC con encoder.



3.5. Hércules RM42

La Hércules RM42 es un dispositivo de evaluación económico para que los usuarios comiencen a familiarizarse con el desarrollo con microcontroladores Hércules. La RM42 no es la Hércules con mayores prestaciones, pero para nuestras necesidades es suficiente, es un microcontrolador con el cual podemos realizar la programación de distintos sistemas de control discreto. Esta basada en el microcontrolador dual core lock-step ARM® Cortex®-R4 el cual contiene un ADC de 12 bits, HET y pins programables para timers y también cuenta con interfaces de comunicación serial.

Figura 4: Hércules RM42.



3.6. Puente H.

El puente H es un circuito electrónico que se utiliza para controlar a un motor eléctrico, tanto en sus movimiento en avance y retroceso. El circuito principal está compuesto por 4 interruptores o transistores que forman una figura en forma de

H, de ahí su nombre. Actualmente ya se venden puentes H en circuitos con distintos puertos para facilitar su uso.

Figura 5: Puente H.

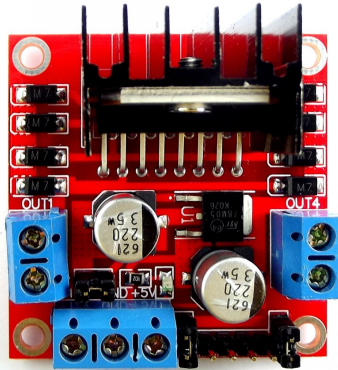
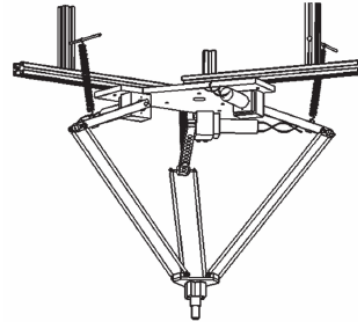


Figura 6: Diagrama de robot delta.



Con base en el diagrama del robot delta se modificó una estructura ya existente de un robot similar, se cambiaron los motores reductores por el modelo jgy-370. Por lo tanto se realizó una base para cada motor para poder fijarlo a la estructura, de igual forma se diseñaron brazos para cada motor, dichos brazos se conectarían a otros más largos mediante una unión de tipo bola.

Figura 7: Motorreductor utilizado.



4. Desarrollo.

4.1. Materiales.

1. Hércules RM42
2. Estructura de Robot Delta
3. Motor reductor con encoder
4. Cables
5. Puentes H.

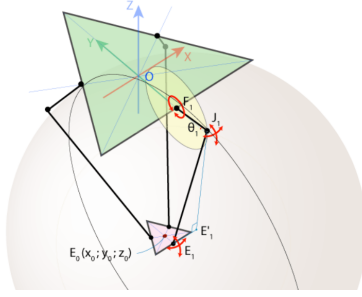
4.2. Estructura de robot delta.

La estructura del robot paralelo utilizado para este proyecto es de tipo delta, la cual cuenta con 3 motores reductores que mueven 3 brazos interconectados en su punto final, en la imagen se puede comprender de mejor forma la estructura de un robot paralelo tipo delta.

Para poder verificar que un robot delta funciona de forma correcta, al momento de que los 3 motores estén en movimiento, el efector que es la parte final donde los 3 motores se interconectan, siempre debe estar paralela a la superficie inferior, de ahí el nombre de robot paralelo.

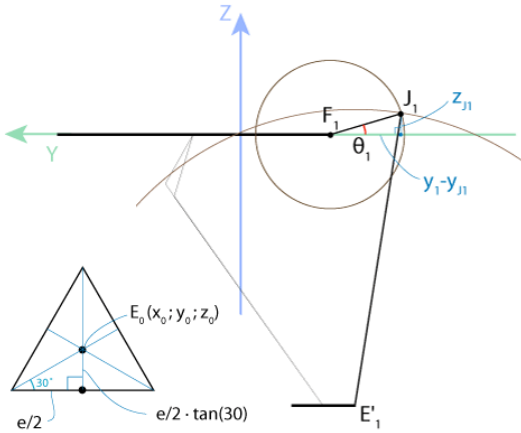
4.3. Modelo cinemático inverso.

Figura 8: Diagrama robot delta.



Para la programación y análisis del robot delta existen dos modelos, el modelo cinemático directo y el modelo cinemático inverso, en este proyecto se utilizó el modelo cinemático inverso. El modelo cinemático inverso o MCI, consiste en, partiendo de un mismo ángulo todos los motores, encontrar el ángulo al cual se deben de mover los motores para que el efector llegue a una posición deseada, la cual se da en el plano cartesiano de 3 ejes. Es decir, este modelo nos sirve para pasar de una posición en el plano a los ángulo de nuestros motores. En la siguiente imagen se puede observar gráficamente la lógica detrás del funcionamiento de las ecuaciones del MCI, el método consiste en encontrar la posición en el eje Y y Z del extremo del brazo más corto, y con esa posición se calcula el ángulo θ del motor. Cabe resaltar que el modelo es para un solo motor, por lo tanto para calcular los otros ángulos debemos recurrir a métodos de traslación y rotación.

Figura 9: Diagrama de modelo cinemático inverso.



$$E(x_0, y_0, z_0) \quad (1)$$

$$EE_1 = \frac{e}{2} \tan(30) \quad (2)$$

$$EE_1 = \frac{e}{2} \tan(30) = \frac{e}{2\sqrt{3}} \quad (3)$$

$$E_1(x - 0, y_0 - \frac{e}{2\sqrt{3}}, z_0) = E_1(0, y_0 - \frac{e}{2\sqrt{3}}, z_0) \quad (4)$$

$$E_1E_1 = E_1J_1 = \sqrt{E_1J_1^2 - E_1E_1^2} = \sqrt{r_e^2 - x_0^2} \quad (5)$$

$$F_1(0, -\frac{f}{2\sqrt{3}}, 0) \quad (6)$$

$$(y_j1 - y_F1)^2 + (z_j1 - z_F1)^2 = r_f^2 \quad (7)$$

$$(y_j1 - y_F1)^2 + (z_j1 - z_F1)^2 = r_e^2 - X_0^2 \quad (8)$$

$$(y_j1 + \frac{f}{2\sqrt{3}})^2 + z_j1^2 = r_f^2 \quad (9)$$

$$(y_j1 - y_0 + \frac{e}{2\sqrt{3}})^2 + (z_j1 - z_0)^2 = r_e^2 - x_0^2 \quad (10)$$

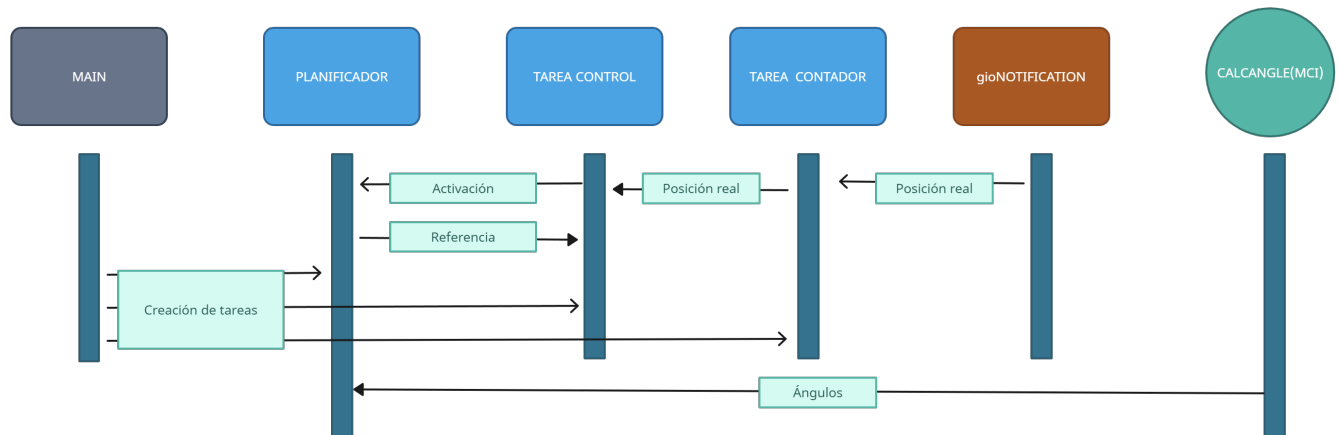
$$J_1(0, y_j1, z_j1) \quad (11)$$

$$\theta_1 = \arctan(\frac{z_j1}{y_F1 - y_J1}) \quad (12)$$

Las ecuaciones anteriores se pueden transcribir a un algoritmo para poder utilizarlas en el programa del robot delta. Dicho algoritmo se encuentra en el código final en la sección de anexos.

4.4. Diagrama UML.

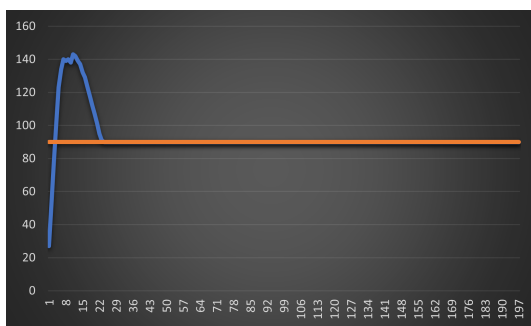
Figura 10: Diagrama UML secuencial.



5. Gráficas de sintonización de control

En la siguiente gráfica colocamos una referencia de 90 pulsos hacia arriba, y declaramos tres arreglos donde se guardaban las posiciones actuales de cada motor, en la siguiente solo se muestra el comportamiento de un motor.

Figura 11: Sintonización de control.



6. Conclusiones.

Al haber sido finalizado el proyecto podemos llegar a varios puntos de vista sobre el funcionamiento del robot delta, al inicio del proyecto la primer etapa que se realizó fue la selección de ma-

teriales, una de las partes más importantes son los motorreductores con encoder, en ese momento es difícil decidir cuál es la mejor opción, al estar en la etapa final del proyecto, se puede deducir que la selección de ese componente no fue la mejor opción. Al inicio del proyecto como los motorreductores no recibían tanta demanda funcionaban bien, pero conforme se fue avanzando notábamos irregularidades en un motorreductor y en la etapa final dicho motorreductor afecta demasiado al funcionamiento del robot. En una de las primeras etapas de desarrollo de código, donde se cuentan las posiciones y el cambio de estas de cada motor, todo funcionaba correctamente, cada motor hacía bien sus cuentas.

En la siguiente etapa donde se debía implementar el control para cada motor, así como encontrar su compensador de zona muerta, todos los motorreductores seguían funcionando correctamente, el control de las posiciones era aceptable. Después instalamos los primeros brazos a los motores, los brazos de menor tamaño, aquí fue donde comenzamos a notar irregularidades en un motor, dicho motor cuando rotaba más hacia arriba y cuando debía hacerlo hacia abajo no lo hacía como los otros dos motores. Se aplicaron compensadores distintos a ese motor con la finalidad de igualar su comportamiento al de los otros dos motores y se pudo solucionar un poco pero no del todo. Al ana-

lizar el código con breakpoints para ver mejor el comportamiento de dicho motor, logramos ver que en sus cuentas, dicho motor se comportaba bien, pero en la realidad se encontraba en otra posición, con esto se llegó a la solución de modificar la resolución de dicho motor pero esto tampoco solucionó el problema.

Teniendo en cuenta esto, se avanzó con el proceso por falta de tiempo para cambiar de motores, entonces se instaló toda la estructura completa del robot delta y se implementó en el código el planificador con la función del MCI. Primeramente se aplicaba una posición fija en el planificador, los 3 motores se comportaban bien, incluso el motor que fallaba, entonces se aplicó una rutina de dos posiciones en el eje Z al planificador. Por lo tanto, los ángulos de los motores iban a positivos a negativos por requisito del proyecto, en este punto el motor que fallaba regresó a su protagonismo. Al ser una rutina de posiciones cambiantes, el encoder a veces perdía cuentas y a veces no, pero lo más común era que en software el motor se comportaba bien, pero en la realidad no, lo que afectó y sigue afectando al seguimiento de rutas del robot delta.

El hecho de que un motor no funciona correctamente arruina todo el funcionamiento, y si a esto se suma el hecho de que dicho fallo no es regular, la falla es un más grave. Entonces se llegó a una conclusión, ir aumentando o reduciendo la posición del robot solo en el eje Z por medio del botón de reset del microcontrolador, extrañamente cuando avanzaba pausadamente hacia arriba o abajo, el fallo del motor desaparecía, por lo que se redujo la velocidad de movimiento de los 3 motores para verificar si ese era el error, pero no fue así. Habiendo probado bastantes soluciones y verificado posibles errores, se llegó a la conclusión de encontrar ganancias y rutas donde el motor que falla no nos afecte tanto, el problema actual es que al momento de seguir una ruta solo lo hace un poco bien la primera vez, pero cuando pasa más tiempo las cuentas perdidas por el motor afectan a toda la trayectoria y el robot delta no puede continuar.

A. Anexos

A.1. Código CSS.

```

1  /** @file sys_main.c
2  *   @brief Application main file
3  *   @date 11-Dec-2018
4  *   @version 04.07.01
5  *
6  *   This file contains an empty main function,
7  *   which can be used for the application.
8  */
9
10 /*
11 * Copyright (C) 2009–2018 Texas Instruments Incorporated – www.ti.com
12 *
13 *
14 * Redistribution and use in source and binary forms, with or without
15 * modification, are permitted provided that the following conditions
16 * are met:
17 *
18 *   Redistributions of source code must retain the above copyright
19 *   notice, this list of conditions and the following disclaimer.
20 *
21 *   Redistributions in binary form must reproduce the above copyright
22 *   notice, this list of conditions and the following disclaimer in the
23 *   documentation and/or other materials provided with the
24 *   distribution.
25 *
26 *   Neither the name of Texas Instruments Incorporated nor the names of
27 *   its contributors may be used to endorse or promote products derived
28 *   from this software without specific prior written permission.
29 *
30 * THIS SOFTWARE IS PROVIDED BY THE COPYRIGHT HOLDERS AND CONTRIBUTORS
31 * "AS IS" AND ANY EXPRESS OR IMPLIED WARRANTIES, INCLUDING, BUT NOT
32 * LIMITED TO, THE IMPLIED WARRANTIES OF MERCHANTABILITY AND FITNESS FOR
33 * A PARTICULAR PURPOSE ARE DISCLAIMED. IN NO EVENT SHALL THE COPYRIGHT
34 * OWNER OR CONTRIBUTORS BE LIABLE FOR ANY DIRECT, INDIRECT, INCIDENTAL,
35 * SPECIAL, EXEMPLARY, OR CONSEQUENTIAL DAMAGES (INCLUDING, BUT NOT
36 * LIMITED TO, PROCUREMENT OF SUBSTITUTE GOODS OR SERVICES; LOSS OF USE,
37 * DATA, OR PROFITS; OR BUSINESS INTERRUPTION) HOWEVER CAUSED AND ON ANY
38 * THEORY OF LIABILITY, WHETHER IN CONTRACT, STRICT LIABILITY, OR TORT
39 * (INCLUDING NEGLIGENCE OR OTHERWISE) ARISING IN ANY WAY OUT OF THE USE
40 * OF THIS SOFTWARE, EVEN IF ADVISED OF THE POSSIBILITY OF SUCH DAMAGE.
41 *
42 */
43
44
45 /* USER CODE BEGIN (0) */
46 #define mainDELAY_LOOP_COUNT (0xFFFFF)
47 /* USER CODE END */
48
49 /* Include Files */
50
51 #include "sys_common.h"
52
53 /* USER CODE BEGIN (1) */
54 //incluimos las librerias neesarias
55 #include "FreeRTOS.h"
56 #include "os_task.h"
57 #include "os_queue.h"
58 #include "het.h"
59 #include "gio.h"
60 #include "os_semphr.h"
61 #include "stdlib.h"
62 #include "math.h"
63 /* USER CODE END */
64
65 /** @fn void main(void)
66 *   @brief Application main function
67 *   @note This function is empty by default.
68 */

```

```

69  *   This function is called after startup.
70  *   The user can use this function to implement the application.
71  */
72
73  /* USER CODE BEGIN (2) */
74  ////declaracion de tareas
75  void vTarea1(void *pvParameters);
76  void vPosition(void *pvParameters);
77  void vPlanif(void *pvParameters);
78  ////declaracion de funciones
79  void gioNotification(gioPORT_t *port, uint32_t bit);
80  void limitControl(float MIN, float MAX, float *x);
81  float calcangle(float Angle, float x0, float y0, float z0);
82  int limitpwm(uint32_t MAX, uint32_t x);
83  //// declaracion de el manejador de cada cola
84  xQueueHandle xQueueGio;
85  xQueueHandle xQueuePos1;
86  xQueueHandle xQueueRef;
87  xQueueHandle xQueueFlag;
88  ////declaracion de estructuras usadas
89  typedef struct{
90      uint32_t giointer;
91      uint32_t giocomp;
92  } gioint;
93
94  typedef struct{
95      int32_t countpos;
96      int32_t countpos2;
97      int32_t countpos3;
98  } counts;
99
100  typedef struct{
101      float theta1;
102      float theta2;
103      float theta3;
104  } thetas;
105
106  typedef struct{
107      float ref1;
108      float ref2;
109      float ref3;
110  } refs;
111
112  typedef struct{
113      int i;
114  } flags;
115
116  const float pi = 3.141592 ; //Valor de pi
117  int flag = 0;
118
119
120  /* USER CODE END */
121
122  int main(void)
123  {
124      /* USER CODE BEGIN (3) */
125      gioInit();
126      hetInit();
127      //declaracion de estructuras para inicializar las colas
128      counts count;
129      thetas tets;
130      flags flag;
131
132      ////valores de estructuras que se envian a las colas
133      count.countpos = 0.0;
134      count.countpos2 = 0.0;
135      count.countpos3 = 0.0;
136
137      tets.theta1 = 0.0;
138      tets.theta2 = 0.0;
139      tets.theta3 = 0.0;
140
141      flag.i = 0;
142
143      ////creacion de colas
144      xQueueGio = xQueueCreate(15, sizeof(gioint));
145      xQueuePos1 = xQueueCreate(1, sizeof(counts));
146      xQueueRef = xQueueCreate(1, sizeof(thetas));

```

```

147 xQueueFlag = xQueueCreate(1, sizeof(flags));
148
149 //inicializamos las colas
150 xQueueSend(xQueuePos1, &count, 0);
151 xQueueSend(xQueueRef, &tets, 0);
152 xQueueSend(xQueueFlag, &flag, 0);
153
154
155 //se crean las tareas
156 if(xTaskCreate(vPosition, "Position", configMINIMAL_STACK_SIZE, NULL, 3, NULL)!=pdTRUE)
157 {while(1);}
158 if(xTaskCreate(vTarea1, "Tarea1", 4*configMINIMAL_STACK_SIZE, NULL, 4, NULL)!=pdTRUE)
159 {while(1);} //control
160 if(xTaskCreate(vPlanif, "Planif", configMINIMAL_STACK_SIZE, NULL, 2, NULL)!=pdTRUE)
161 {while(1);}
162
163 vTaskStartScheduler();//Se inicializa el scheduler
164
165 while(1);
166
167 /* USER CODE END */
168
169 return 0;
170 }
171
172 int limitpwm(uint32_t MAX, uint32_t x)
173 {
174     uint32_t aux = x;
175
176     if(aux > MAX)
177     {
178         aux = MAX;
179     }
180
181     return aux;
182 }
183
184 /* USER CODE BEGIN (4) */
185 /*
186 * Funcion para limitar el control
187 */
188 void limitControl(float MIN, float MAX, float *x)
189 {
190     float *aux = x;
191     if(*aux < MIN)
192     {
193         *aux = MIN;
194     }
195     if(*aux > MAX)
196     {
197         *aux = MAX;
198     }
199 }
200
201 /*
202 * En esta funcion se ejecuta el MCI, recibe las posiciones
203 * en los 3 ejes y obtiene el angulo en el eje Y y Z, por lo tanto
204 * en el planificador se realizar el proceso de traslacion y
205 * rotacion por la posicion de cada motor.
206 */
207 float calcangle(float Angle, float x0, float y0, float z0)
208 {
209     float pi = 3.14159;
210     //variables de medidas del robot
211     double PlatformTri = 7;
212     double BassTri = 3;
213     double ArmLength = 6.5;
214     double RodLength = 27;
215
216     //comienzan ecuaciones de MCI
217     double y1 = -0.5 * tan(30) * BassTri;
218     y0 = 0.5 * tan(30) * PlatformTri;
219
220     double aV = (x0 * x0 + y0 * y0 + z0 * z0 + ArmLength * ArmLength - RodLength *
221                 RodLength - y1 * y1) / (2.0 * z0);
222     double bV = (y1 - y0) / z0;

```

```

221     double dV = -(aV + bV * y1) * (aV + bV * y1) + ArmLength * (bV * bV * ArmLength +
222         ArmLength);
223     if (dV < 0)
224     {
225         Angle=0;
226     }
227     else{
228         double yj = (y1 - aV * bV - sqrt(dV)) / (bV * bV + 1);
229         double zj = aV + bV * yj;
230         Angle = atan2(-zj, (y1 - yj)) * 180.0 / pi;
231     }
232
233
234     return Angle; //la variable de retorno es el angulo
235 }
236 /*
237  * En la tarea de planificador realizamos las rutas
238  * a seguir para formar las figuras deseadas.
239  */
240 void vPlanif(void * pvParameters)
241 {
242     thetas tets; //estructura de referencias
243     flags flag; //estructura de la cola que bloquea la tarea
244     TickType_t puls = 700/portTICK_PERIOD_MS;
245     float x0 = 0, y0 = 0, z0 = 19.0, Angle; //variables para inicializar la posicion
246     float theta1 = 0, theta2 = 0.0, theta3 = 0.0;
247     int t = 0, i = 1;
248     float resoluc = 3.6, resoluc2 = 3.6; //recoluciones de motores
249
250
251     for (;;)
252     {
253         //al recibir el elemento de la cola la tarea pasa de bloqueada a ejecucion
254         xQueueReceive(xQueueFlag, &flag, portMAX_DELAY);
255
256
257         //switch para ir cambiando de referencia cada vez que se ejecute el planificador
258         switch(i)
259         {
260             case 1:
261                 z0 = 19.0;
262                 x0 = 1;
263                 y0 = 1;
264                 break;
265             case 2:
266                 z0 = 19.0;
267                 x0 = 1;
268                 y0 = -1;
269                 break;
270             case 3:
271                 z0 = 19.0;
272                 x0 = -1;
273                 y0 = -1;
274                 break;
275             case 4:
276                 z0 = 19.0;
277                 x0 = -1;
278                 y0 = 1;
279                 break;
280             case 5:
281                 z0 = 20.0;
282                 x0 = 1;
283                 y0 = 1;
284                 break;
285             case 6:
286                 z0 = 20.0;
287                 x0 = 1;
288                 y0 = -1;
289                 break;
290             case 7:
291                 z0 = 20.0;

```

```

298         x0 = -1;
299         y0 = -1;
300         break;
301
302     case 8:
303         z0 = 20.0;
304         x0 = -1;
305         y0 = 1;
306         break;
307     case 9:
308         z0 = 21.0;
309         x0 = 1;
310         y0 = 1;
311         break;
312
313     case 10:
314         z0 = 21.0;
315         x0 = 1;
316         y0 = -1;
317         break;
318
319     case 11:
320         z0 = 21.0;
321         x0 = -1;
322         y0 = -1;
323         break;
324
325     case 12:
326         z0 = 21.0;
327         x0 = -1;
328         y0 = 1;
329         i = 0;
330         break;
331
332     }
333     i++;
334     //variable para ir cambiando de referencia enviada
335
336
337     /*
338     * calculo de los angulo de cada motor segun la posicion deseada
339     * el angulo 2 y 3 tienen las operaciones de translacion y rotacion
340     * debido a las posciones de los motores.
341     */
342     tets.theta1 = calcangle(Angle,x0, y0, z0);
343     tets.theta2 = calcangle(Angle, x0 * cos(2.0944) + y0 * sin(2.0944),
344         y0 * cos(2.0944) - x0 * sin(2.0944),
345         z0);
346     tets.theta3 = calcangle(Angle, x0 * cos(2.0944) - y0 * sin(2.0944),
347         y0 * cos(2.0944) + x0 * sin(2.0944),
348         z0);
349
350     //convertimos los angulos a conteos de encoder
351     tets.theta1 = tets.theta1 * resoluc;
352     tets.theta2 = tets.theta2 * resoluc;
353     tets.theta3 = tets.theta3 * resoluc;
354
355
356     xQueueOverwrite(xQueueRef, &tets); //enviamos la estructura de 3 angulos al control
357
358     vTaskDelay(puls);
359 }
360
361 }
362 }
363 /*
364 * En esta tarea se realiza el control de los tres motores,
365 * recibe la posicion real de cada motor de la cola sin borrarla
366 * de dicha cola, igualmente recibe la referencia generada por el
367 * planificador y realiza el control
368 */
369 void vTarea1(void *pvParameters)
370 {
371     //MI: KI=1.5 ERROR 15
372     volatile float kp2 = .4, kp= .4, kp3 = .4, kd = 0.005, ki3 = 2.5, T = .02; //ganancias
373     para motores
374     volatile float ki1 = 2.5, ki2 = 2.5; //2.6
375     //variables usadas para las salidas de control de cada motor

```

```

375 volatile float Up1, Ud1, Ui1, Uc1, e1[5] = {0};
376 volatile float Up2, Ud2, Ui2 = 0, Uc2, e2[5] = {0};
377 volatile float Up3, Ud3, Ui3, Uc3, e3[5] = {0};
378 //inicializamos los arreglos usados en cero
379 float step[3] = {0.0,0.0,0.0};
380 float pos_d[3] = {0.0, 0.0, 0.0};
381 float pos_r[3] = {0.0, 0.0, 0.0};
382 float pos_ff[3] = {0.0, 0.0, 0.0};
383 float comp_grav[3]={0.0, 0.0, 0.0};
384 //declaracion de pwm's y su periodo
385 hetSIGNAL_t pwm0het0, pwmlhet12, pwm2het18;
386 pwm2het18.period = 1000.0;
387 pwmlhet12.period = 1000.0;
388 pwm0het0.period = 1000.0;
389 uint32_t i=0, tcount = 0;
390 //variable para el tiempo de espera
391 volatile TickType_t xTicksToWait = 0;
392 //declaracion de estructuras utilizadas
393 counts position;
394 thetas tets;
395 flags flag;
396 //variable para modificar la velocidad de cada motor, suele no utilizarse por falla de
397 motor 2
398 int calc_step=0;
399 float pi = 3.14159;
400 for(;;)
401 {
402     //recepcion de estructura de posicion real y referencia
403     xQueuePeek(xQueuePos1, &position, xTicksToWait); //TOMA POSICION DE ENCODERS
404     xQueueReceive(xQueueRef, &tets, xTicksToWait);
405
406     //asignacion de referencias al arreglo usado
407     pos_ff[0] = tets.theta1;
408     pos_ff[1] = tets.theta2;
409     pos_ff[2] = tets.theta3;
410
411     /*if(calc_step==0){ //CALCULA EL STEP SOLO CUANDO NO ESTA CONTROLANDO
412         for(i = 0; i<3; i++)
413         {
414             step[i]=(pos_ff[i]-pos_r[i])/10; //PARA QUE TODOS LLEGUEN AL MISMO
415             TIEMPO**
416         }
417         calc_step=1; //BLOQUEAMOS CALCSTEP
418     }
419
420     if(abs(pos_d[0]) < abs(pos_ff[0]) && abs(pos_d[1]) < abs(pos_ff[1]) &&
421        abs(pos_d[2]) < abs(pos_ff[2]))//SUMAR STEP SI LA DIFERENCIA ENTRE LAS
422        POSICIONES ES MAYOR A 1
423     {
424         for(i = 0; i<3;i++){
425             pos_d[i] += step[i];
426         }
427     }
428     else{//STEP EN 0 POR SI LAS DUDAS
429         //step[i]=0;
430     }
431
432     //asignacion de posiciones reales al arreglo utilizado
433     pos_r[0] = (float)(position.countpos);/*(resoluc);
434     pos_r[1] = (float)(position.countpos2);/*(resoluc);
435     pos_r[2] = (float)(position.countpos3);/*(resoluc);
436
437     //calcula de errores de cada motor
438     e1[4] = e1[3]; e1[3] = e1[2]; e1[2] = e1[1]; e1[1] = e1[0];
439     e1[0] = (float)(pos_ff[0] - pos_r[0]);
440     e2[4] = e2[3]; e2[3] = e2[2]; e2[2] = e2[1]; e2[1] = e2[0];
441     e2[0] = (float)(pos_ff[1] - pos_r[1]);
442     e3[4] = e3[3]; e3[3] = e3[2]; e3[2] = e3[1]; e3[1] = e3[0];
443     e3[0] = (float)(pos_ff[2] - pos_r[2]);
444
445     //comp_grav[0]=cos((pos_r[0])*pi*0.25714/180);
446     //comp_grav[1]=cos((pos_r[1])*pi*0.25714/180);
447     //comp_grav[2]=cos((pos_r[2])*pi*0.25714/180);
448
449     //calcula de salidas de control de cada motor////////
450     Up1 = kp *(e1[0]);

```

```

449 Up2 = kp2 * (e2[0]);
450 Up3 = kp3 * (e3[0]);
451 // *****
452 Ui1 = Ui1 + ki1*T*e1[0];
453 Ui2 = Ui2 + ki2*T*e2[0];
454 Ui3 = Ui3 + ki3*T*e3[0];
455
456 limitControl(-60, 60, &Ui1);
457 limitControl(-60, 60, &Ui2);
458 limitControl(-60, 60, &Ui3);
459 // *****
460 Ud1 = (kd/T) * (e1[0] - e1[4]);
461 Ud2 = (kd/T) * (e2[0] - e2[4]);
462 Ud3 = (kd/T) * (e3[0] - e3[4]);
463 // *****
464 Uc1 = Up1 + Ud1 + Ui1;
465 Uc2 = Up2 + Ud2 + Ui2;
466 Uc3 = Up3 + Ud3 + Ui3;
467 // *****
468 //limitamos la salida de control de cada motor
469
470
471 limitControl( -150.0, 150.0, &Uc1 );
472 limitControl( -150.0, 150.0, &Uc2 );
473 limitControl( -150.0, 150.0, &Uc3 );
474
475
476
477 // para cada motor, cambiamos el sentido de giro segun el signo de su salida de
478 // control////////
479 if(Uc1 > 00.0)
480 {
481     gpioSetBit(hetPORT1, (uint32)2, (uint32)1);//2
482     gpioSetBit(hetPORT1, (uint32)4, (uint32)0);//4
483     pwm0het0.duty =(uint32_t)(Uc1) + 35 + (int32_t)(cos((pos_r[0])*pi*0.25714/180)
484         * 30);
485     //pwm0het0.duty = (uint32_t)(limitpwm(80, pwm0het0.duty));
486 }
487 else
488 {
489     gpioSetBit(hetPORT1, (uint32)2, (uint32)0);//2
490     gpioSetBit(hetPORT1, (uint32)4, (uint32)1);//4
491     pwm0het0.duty= (uint32_t)(-Uc1) + 5 +
492         (uint32_t)(cos((pos_r[0])*pi*0.25714/180) * 8);
493     //pwm0het0.duty = (uint32_t)(limitpwm(80, pwm0het0.duty));
494 }
495
496 if(Uc2>00.0)
497 {
498     gpioSetBit(hetPORT1, (uint32)6, (uint32)1);
499     gpioSetBit(hetPORT1, (uint32)10, (uint32)0);
500     pwm1het12.duty= (uint32_t)(Uc2) + 35 +
501         (int32_t)(cos((pos_r[1])*pi*0.25714/180) * 30);
502     //pwm1het12.duty = (uint32_t)(limitpwm(80, pwm1het12.duty));
503 }
504 else
505 {
506     gpioSetBit(hetPORT1, (uint32)6, (uint32)0);
507     gpioSetBit(hetPORT1, (uint32)10, (uint32)1);
508     pwm1het12.duty= (uint32_t)(-Uc2) + 15 +
509         (int32_t)(cos((pos_r[1])*pi*0.25714/180) * 8);
510     //pwm1het12.duty = (uint32_t)(limitpwm(80, pwm1het12.duty));
511 }
512
513 if(Uc3>00.0)
514 {
515     gpioSetBit(hetPORT1, (uint32)14, (uint32)1);
516     gpioSetBit(hetPORT1, (uint32)16, (uint32)0);
517     pwm2het18.duty= (uint32_t)(Uc3) + 35 + (int32_t)(cos((pos_r[2])*pi*0.25714/180)
518         * 30);
519     //pwm2het18.duty = (uint32_t)(limitpwm(80, pwm2het18.duty));
520 }

```



```

521     else
522     {
523         gpioSetBit(hetPORT1, (uint32_t)14, (uint32_t)0);
524         gpioSetBit(hetPORT1, (uint32_t)16, (uint32_t)1);
525         pwm2het18.duty= (uint32_t)(-Uc3) + 5 + (int32_t)(cos((pos_r[2])*pi*0.25714/180)
526             * 8);
527         //pwm2het18.duty = (uint32_t)(limitpwm(80, pwm2het18.duty));
528     }
529     ///inicializamos el pwm de cada motor
530
531
532     //condicional para ejecutarse cuando el error de los motores llegue al deseado
533     if(abs(e1[0]) < 15 && abs(e2[0]) < 15 && abs(e3[0]) < 15)
534     {
535         pwm0het0.duty = 10;
536         pwm2het18.duty = 10;
537         pwm1het12.duty = 10;
538         Ui1 = 0.0;
539         Ui2 = 0.0;
540         Ui3 = 0.0;
541         calc_step = 0;
542         flag.i = 1; //variable que se envia a la cola que desbloquea al planificador, no
543             importa su valor
544         xQueueSend(xQueueFlag, &flag, 0); //se envia un valor a la cola para que el
545             planificador lo reciba y se active
546     }
547     pwmSetSignal(hetRAM1, pwm0, pwm0het0);
548     pwmSetSignal(hetRAM1, pwm1, pwm1het12);
549     pwmSetSignal(hetRAM1, pwm2, pwm2het18);
550     vTaskDelay(20/portTICK_PERIOD_MS); //delay del control
551 }
552 }
553 }
554 /*
555  * En esta tarea realizamos el conteo de posicion de
556  * cada motor, al recibir cada elemento de la cola
557  * generada por gioNotification, aumenta o reduce la
558  * posicion real de cada motor segun los valores
559  * de los puentes GIO que reciba, se crea una estructura
560  * la cual cuenta con 3 variables, una para cada posicion
561  * de cada motor. La estructura se envia a una cola
562  * sobre escribiendo la posicion de cada motor, dicha cola
563  * se envia a la tarea de control
564  */
565 void vPosition(void *pvParameters)
566 {
567     volatile int32_t position1;
568     volatile int32_t position2;
569     volatile int32_t position3;
570     counts position;
571     gioint datagio;
572     position.countpos = 0;
573     position.countpos2 = 0;
574     position.countpos3 = 0;
575
576     for (;;)
577     {
578         if(xQueueReceive(xQueueGio, &datagio, portMAX_DELAY) != pdPASS)
579         {
580             //
581         }
582         else {
583             switch(datagio.giointer)
584             {
585                 case 0:
586                     if(datagio.giocomp == 0)
587                     {
588                         position.countpos --;
589                     }
590                     else
591                     {
592                         position.countpos ++;
593                     }
594                 }
595             break;

```

```

596         case 1:
597             if(datagio.giocomp == 0)
598             {
599                 position.countpos ++;
600             }
601             else
602             {
603                 position.countpos --;
604             }
605             break;
606         case 3:
607             if(datagio.giocomp == 0)
608             {
609                 position.countpos2 --;
610             }
611             else
612             {
613                 position.countpos2 ++;
614             }
615             break;
616         case 4:
617             if(datagio.giocomp == 0)
618             {
619                 position.countpos2 ++;
620             }
621             else
622             {
623                 position.countpos2 --;
624             }
625             break;
626         case 5:
627             if(datagio.giocomp == 0)
628             {
629                 position.countpos3 --;
630             }
631             else
632             {
633                 position.countpos3 ++;
634             }
635             break;
636         case 6:
637             if(datagio.giocomp == 0)
638             {
639                 position.countpos3 ++;
640             }
641             else
642             {
643                 position.countpos3 --;
644             }
645             break;
646     }
647 }
648 }
649 }
650 /*Funcion en la que se almacena el bit del puerto GIO activo
651 * y el valor del bit de su puerto GIO complemento, todo esto
652 * en una estructura, la cual se envia a una cola de 16 elementos
653 * de dicha estructura. La configuracion del microcontrolador
654 * solo detecta flancos de subida, por lo tanto cuando un GIO se
655 * activa, almacena ese GIO y el valor de su GIO complementos,
656 * con esto puede detectar el sentido de giro y la cantidad de giro
657 * de cada motor.
658 *
659 */
660 void gioNotification(gioPORT_t *port, uint32 bit)
661 {
662     BaseType_t xHigherPriorityTaskWoken;
663     gioint datagiointerr;
664
665     datagiointerr.giointer = bit;
666
667     switch(bit){
668     case (uint32)0:
669
670         datagiointerr.giocomp = gioGetBit(gioPORTA, (uint32)1);
671
672         break;

```

```
673     case (uint32)1:
674         datagiointerr.giocomp = gioGetBit(gioPORTA, (uint32)0);
675
676         break;
677     case (uint32)3:
678         datagiointerr.giocomp = gioGetBit(gioPORTA, (uint32)4);
679
680         break;
681     case (uint32)4:
682         datagiointerr.giocomp = gioGetBit(gioPORTA, (uint32)3);
683
684         break;
685     case (uint32)5:
686         datagiointerr.giocomp = gioGetBit(gioPORTA, (uint32)6);
687
688         break;
689     case (uint32)6:
690         datagiointerr.giocomp = gioGetBit(gioPORTA, (uint32)5);
691
692         break;
693 }
694 xQueueSendFromISR(xQueueGio, &datagiointerr, 0); //envio constante de dicha estructura
695 }
696
697
698
699
700
701
702
703
704 /* USER CODE END */
```

Listado 1: Código CCS

A.2. Configuración de HALCoGen.

Figura 12

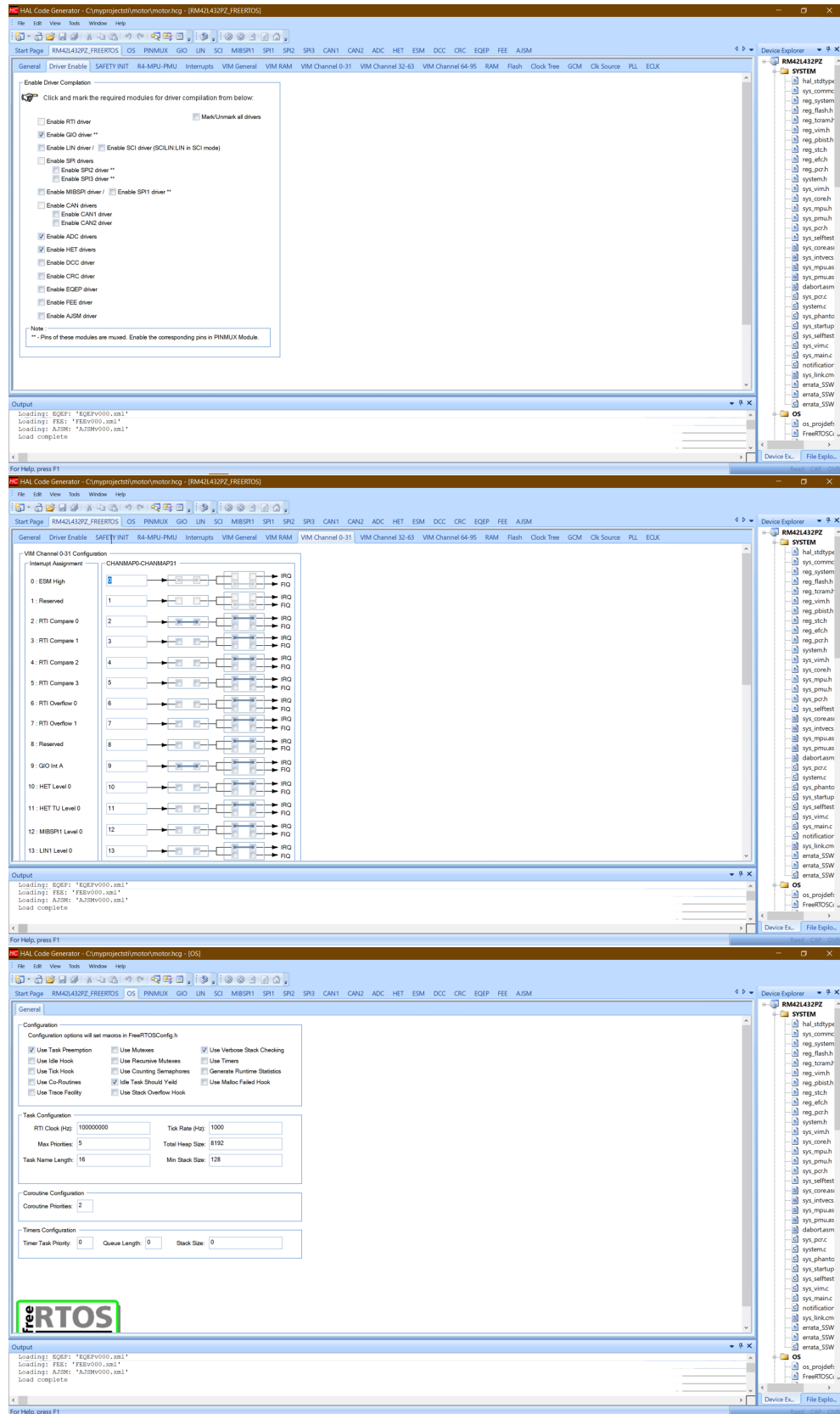


Figura 13

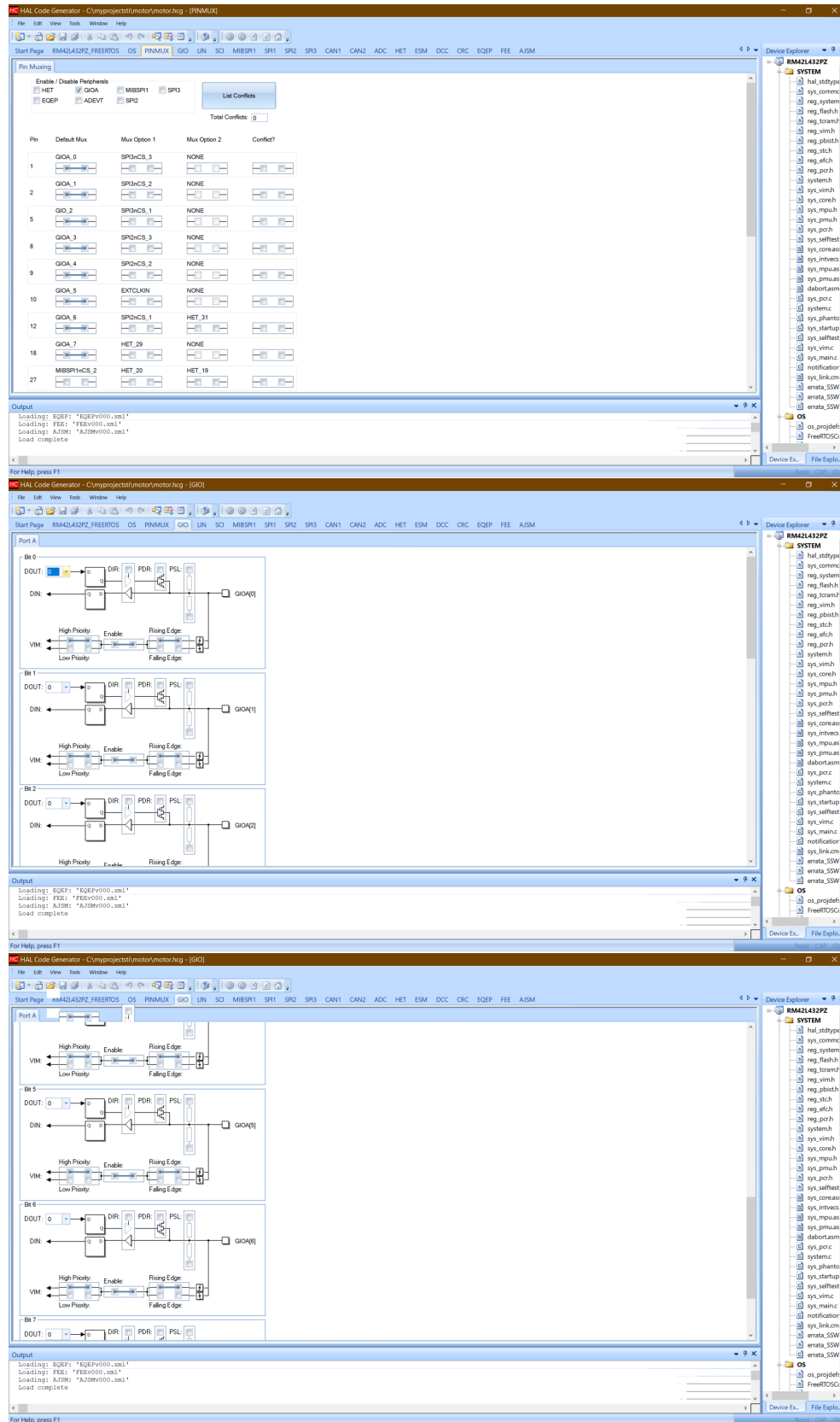


Figura 14

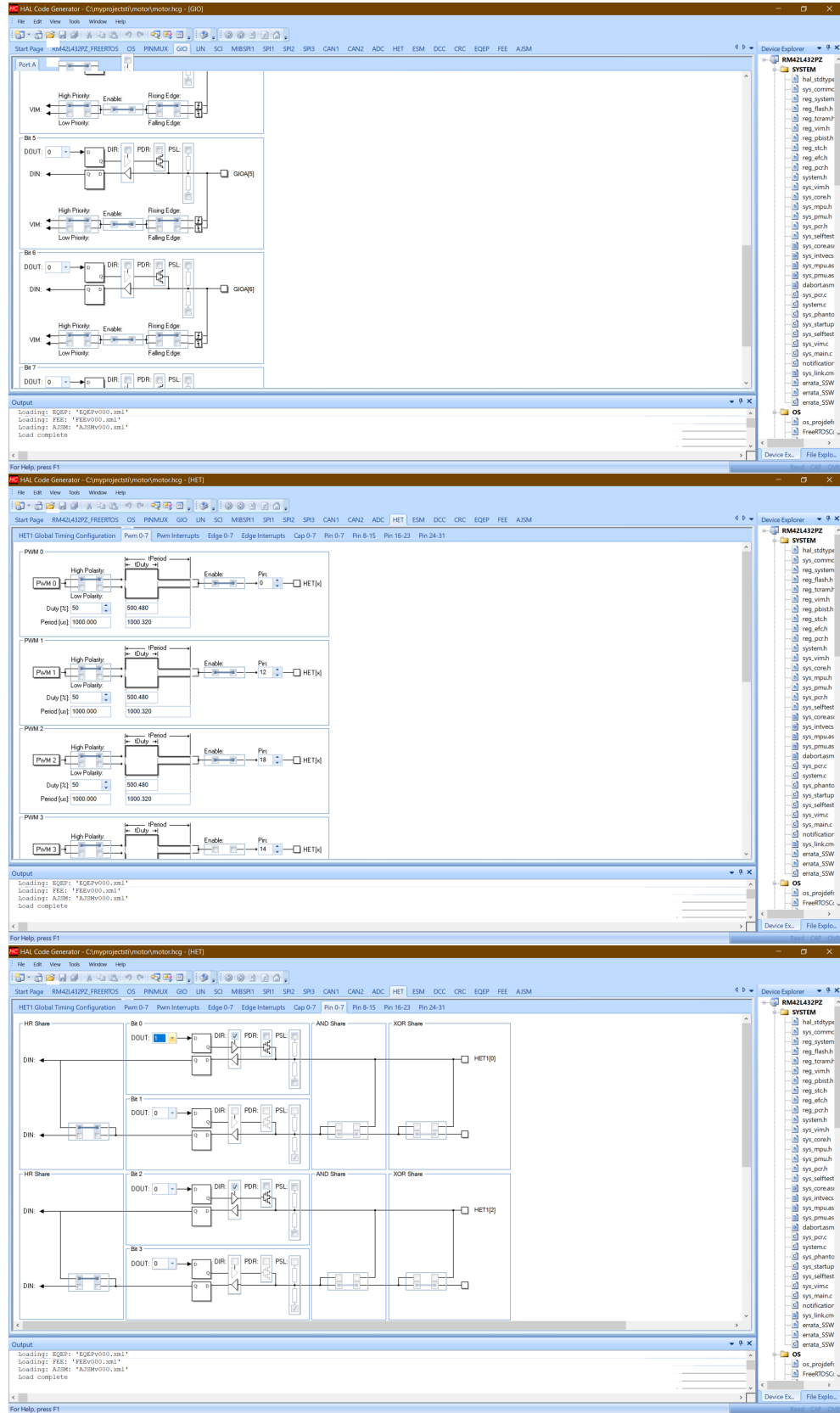
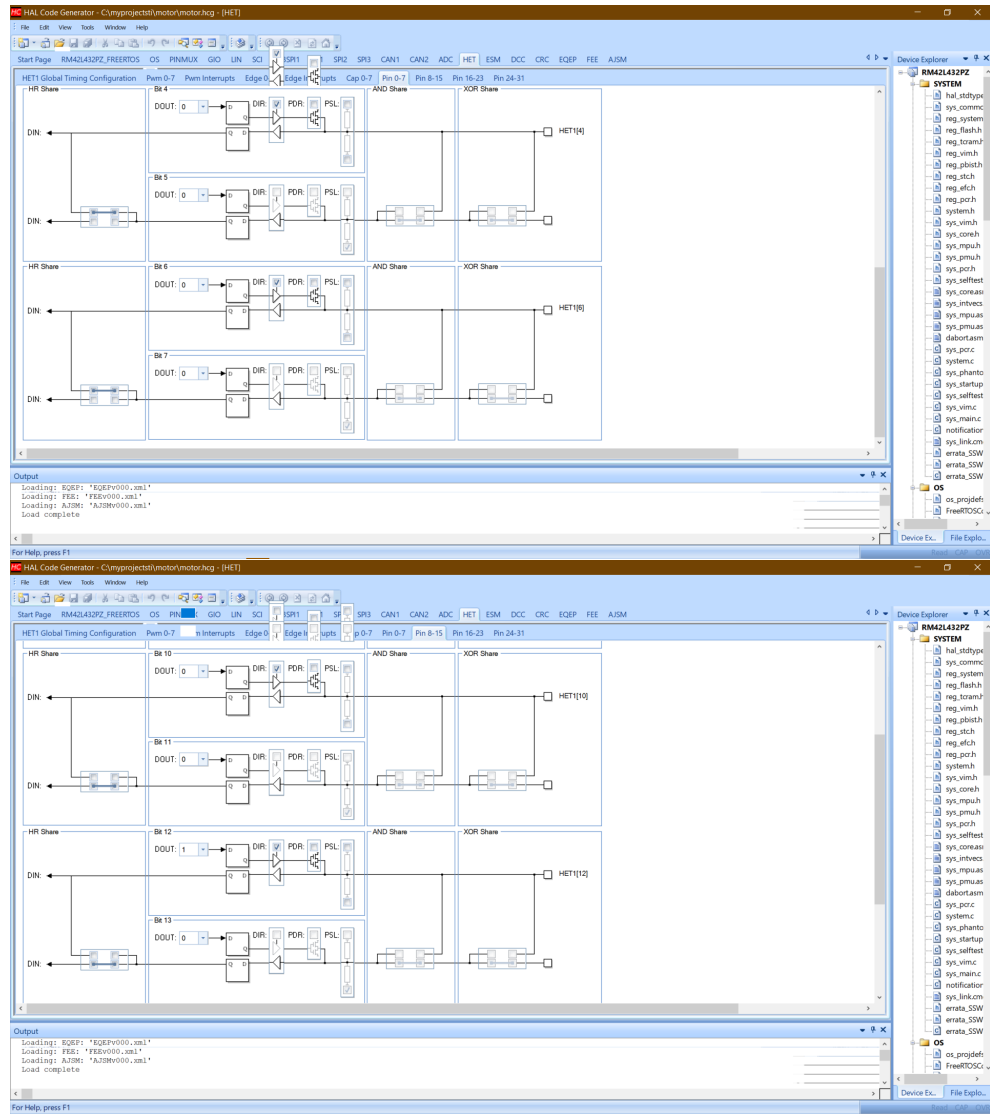


Figura 15



Bibliografía

- [1] Delta Robot Kinematics - Tutorials. URL <https://hypertriangle.com/~alex/delta-robot-tutorial/>.
- [2] FreeRTOS. FreeRTOS - market leading RTOS (Real time operating system) for embedded systems with internet of things extensions, 5 2023. URL <https://www.freertos.org/index.html>.
- [3] Tinkersprojects. GitHub - Tinkersprojects/Delta-Kinematics-Library: Arduino Forward and Inverse Kinematics Library for Delta Robot. URL <https://github.com/tinkersprojects/Delta-Kinematics-Library>.